

横浜国立大学 正員 宮田 利雄  
正員 山田 均  
学生員 管野 風

**まえがき** 斜吊材をもつセハニ橋が、開通後16年という短時日内にその吊材を全面的に交換せざるを得ない状況に至ったのはニュースはよく知られてゐる<sup>1)</sup>。この原因として、革新的といふべき斜吊材の採用や橋軸方向変位の大きさ拘束を生み、従って疲労破壊を促すに至ったと考えらるゝ。本報告では、斜吊材の疲労破壊とその大きさは張力変動によるもの生じ、こゝももたらす原因にはいはいは指摘され、自動車交通のため、斜吊材断面があるたわの風による大きさバフェティング振動もとの一端を担うのではないかとの視点から解析、考察を行つたので、こゝを報告する。

**状況設定と解析方法** 疲労破壊を考慮する上、斜吊材にどの程度の張力変動が生じ、こゝまでの程度の幅度で発生し得るかを評価しておかなければならぬが、これは自動車交通による制動・牽引荷重、それに斜風による風荷重を橋軸方向に、また風の乱れにより発生するバフェティング振動に伴なつて慣性力を鉛直方向に作用させた場合を想定した。こゝの荷重作用に対するセハニ橋の変形、断面力解析は、幾何学的非線形性を考慮した平面骨組解析法により行い、確定した最大荷重をもつ荷重増分法に従つて分割して追跡し、非線形変動を逐次確認するとした。斜吊材の大さは張力変動を生む根本であることを強調する意味から、直吊材(2本だけ)の場合を併せ解析し、相互比較して検討した。節点は吊材とつりかけ全点に設定した。

**解析結果と考察** (1) 斜風による風荷重(抗力)の橋軸方向等分布載荷：セハニ橋の斜風箱形断面は偏角50°~60°の橋軸方向抗力係数が最大( $C_0 = 0.6 \times 0.45$ )である。設計風速44.7m/sにおける荷重強度と格間長(18.3m)当たり算定すると、 $\beta = 1.8$ となる。図1はこの荷重強度を斜の全スパンに載荷したときの斜吊材の張力分布を示す。スパン中央点の応力変動は4.5kg/mm<sup>2</sup>程度で、図3の吊材ローラーの疲労強度線図の5%断線曲線に照らすと、この程度の荷重強度では疲労は生じないといふこと。

(2) 自動車交通による制動・牽引荷重の橋軸方向等分布載荷：セハニ橋の設計荷重強度(24kN/m)の25%(6kN/m)を制動・牽引荷重とするとき(BS5400 HA荷重には軸方向8kN/mの想定あり)，格点当たり $= 11.2$ tとなる。これはT-20荷重の25%(5t)を片側2車線上に2台、格点ごとに載荷する場合に相当する。この荷重強度を斜の全スパンに載荷すると、斜吊材の張力分布は一筋を除いて図1の $\beta = 1.8$ の場合からほどく線形的に上昇する。従つて、スパン中央点の応力変動は $4.5 \times (11.2 / 1.8) = 28.68$ kg/mm<sup>2</sup>となり、先の5%断線疲労強度図より約 $1.5 \times 10^5$ 回の繰り返し数が導かれる。この荷重強度は、交通量1200万台/年(往復)<sup>1)</sup>、重量車混入率25%を考慮しての防護2車線上の平均値2台/格点/時間に換算し、しかも繰り返し数は16年( $= 1.4 \times 10^5 \times 2$ …往復、時間)という時間によく合致する。従つて、この要因は疲労原因の最大なものと言える。なお、直吊材では側絶端点の直吊材のみ約30kg/mm<sup>2</sup>の応力変動を示し、これは非線形的に上昇した。

(3) バフェティング振動時の慣性力の全直載荷：荷重強度をとく、図4の実験結果(7%)から風速40m/s相当の振幅 $A = 3.0\sqrt{2} = 90$ cmを想定し、図2(a)のようになると。振動時の慣性力とこの荷重①と②を考慮すれば、斜吊材では(b)図、直吊材では(c)図のようか張力分布が得られる。この荷重強度に至らずの非線形性は一部を除へてあまり大きくない。(b)図の斜吊材では中央スパンで最大約±14kg/mm<sup>2</sup>の応力変動が算出されるが、先の例と同様約 $1.5 \times 10^5$ 回の繰り返しがあれば疲労ある。これより、固有周期は約7秒で、この繰り返し数には約12日を要するので、このレベルの応力変動の疲労への寄与は小さい。しかし、解析結果をみると、このよびバフェティング振動の累積疲労度への寄与は相当レベルのものにはなると考えられる。

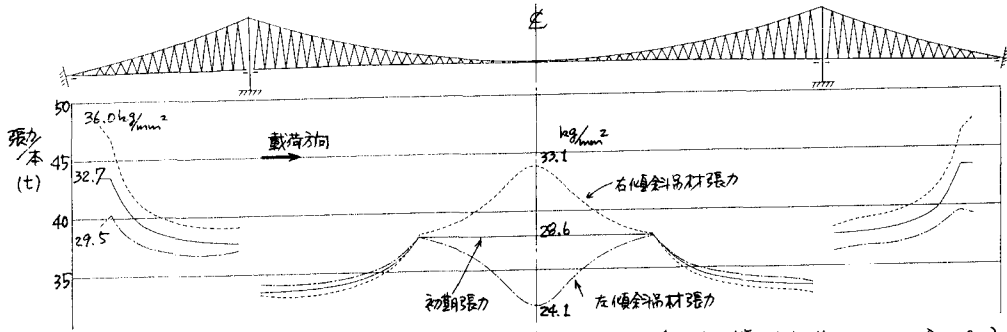


図1 橋軸方向等分布載荷(桁行のみ,全スパン)に於ける  
吊材張力分布(荷重強度 1.0t/格点, /Br.)

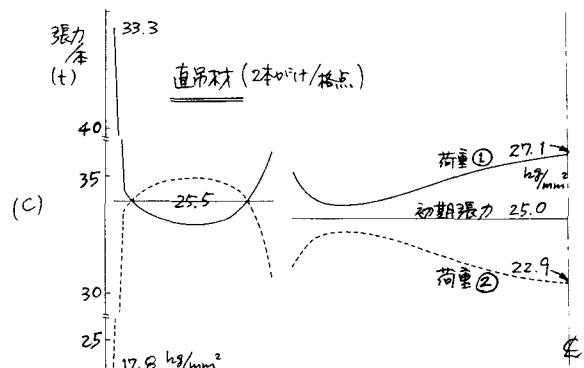
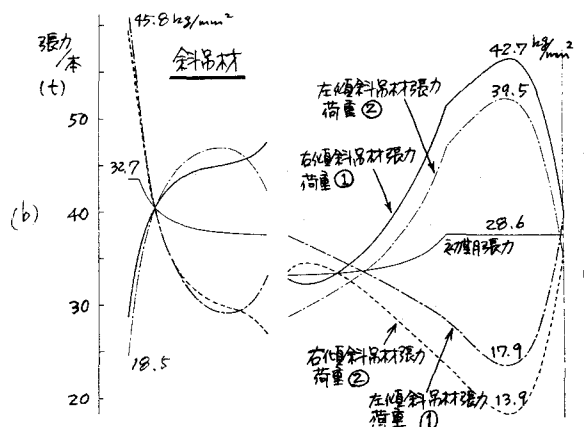
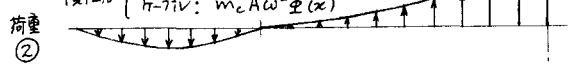
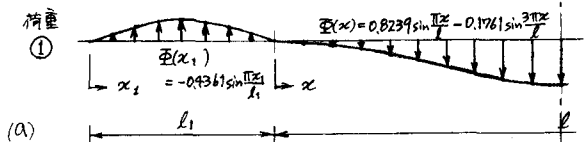


図2 鋼 直載荷に  
よる吊材張  
力分布

(荷重強度)

1は支柱  
1次振動

モード形態

モード慣性

力分布,

荷重①

②も繰  
り返す。

桁:

0.645 Φ(x),

H-T-V:

0.267 Φ(x)

t/m/Br.)

註:(b)図

1は1=2

逆支柱

分布を好

む。

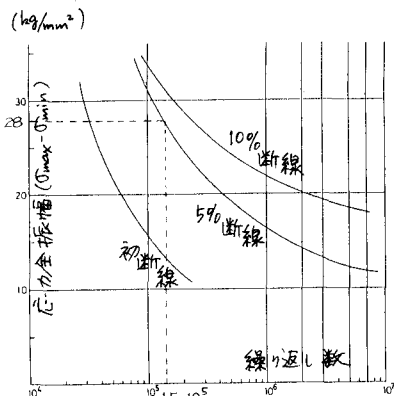


図3 吊材ローテーの疲労強度線図  
(Ref.(2) 1=53)

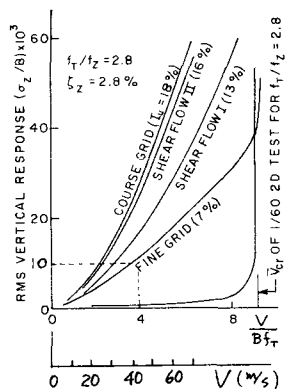


図4 平板状橋梁のバウティンガ振  
動実験結果 (Ref.(3) 1=53)

## 参考文献

- ENR / April 18, 1982, p. 23, ENR / Dec. 2, 1982, p. 22
- 奥川淳志, 吊橋ハンガーローテーの引張および疲労試験, 本四技報, Vol. 2, No. 5, 1978. 7 1983. 3
- Wardlaw, Tanaka, Utsunomiya, Wind Tunnel Expts. Effects of Turbulence ...., Proc. 6th Conf. Wind Eng.